

## (348) S20C球状化処理鋼におけるポイド発生・成長に対する炭化物粒径の影響

東京工業大学

中村 正久

東京工業大学大学院

○飯田 雅志

## 1. 誌言

金属材料の延性破壊過程は、ポイドの発生・成長およびそれらの合体から成り、かつ、母相に含まれている第二相・介在物がポイド発生部にあると考えられている。しかし、延性破壊過程の三段階がいつどうような関係で至るかあまり明らかにされていない。本実験は、炭化物粒径を変化させたS20C球状化処理鋼を用いて、ポイド発生および成長に対する炭化物粒径などの影響を調べ、延性破壊過程における第二相の影響を明めることを目的とするものである。

## 2. 実験方法

供試材としてS20Cを用い、図1に示す形状の形状寸法を機械加工したもので焼入後700°C, 3-12-50-150hrの4種類の焼もどし処理を行なって炭化物粒径の異なる球状化組織の試験片を得た。これらの試験片を塑性变形まで引張、長手方向に切削および研磨させてポイドの発生状態を観察した。

## 3. 実験結果

図2の平均炭化物粒径・平均炭化物間距離と焼もどし時間の関係を両対数グラフにプロットしたものがである。

4種類の焼もどし時間により得られた球状化組織は炭化物粒径・粒間距離がそれぞれ異なっている。図3は700°C, 150hr焼もどし材について炭化物粒径をパラメーターとして塑性対数ひずみ( $\ln \frac{A}{A_0}$ )。 $A_0$ :最初の断面積 A:変形後の断面積)とポイドを有する炭化物の割合の関係を示したものである。これよりポイド発生に対する炭化物粒径の影響がより顕著に現われていていることがわかる。すなわち、炭化物粒径が大きくなるほど、ポイド発生率が高くなり、かつ、小さな塑性ひずみでポイドを発生する。また、ポイドの初期から発生し、これはJ. Guilandらの実験結果と一致する。さらに、各炭化物粒径に対してポイド発生率が飽和値を取る。ポイド成長に対する炭化物粒径の影響があることがわかる。

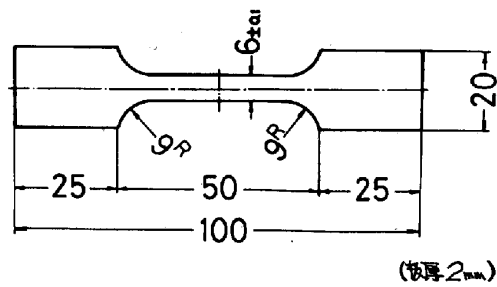


図1. 引張試験片

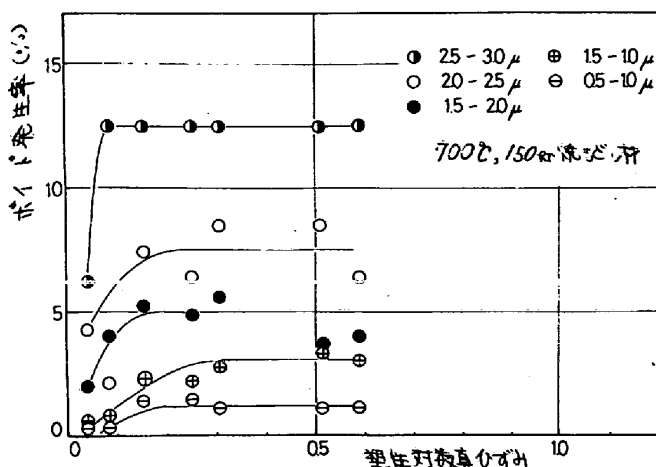
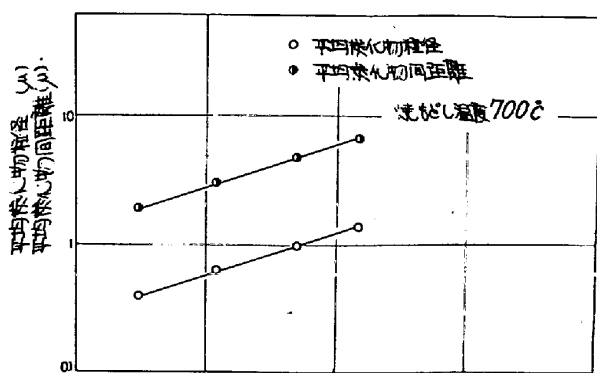


図3. ポイド発生率-塑性対数ひずみ曲線図

図2. 平均炭化物粒径・平均炭化物間距離  
-焼もどし時間の関係

文献 (1) J. Guiland Acta Met. 20 (1972) 735